

اثر آلومینیم بر ساختار، سختی و خواص کششی چدن‌های خاکستری آستمپر

احسان شجاعیⁱ؛ مهدی دیواندریⁱⁱ؛ سیدمحمدعلی بوترابیⁱⁱⁱ

چکیده

در مقاله حاضر، تاثیر میزان آلومینیم و عملیات حرارتی آستمپر بر ساختار، خواص کششی و سختی چدن خاکستری بررسی شده است. به این منظور، سه آلیاژ حاوی ۱، ۲ و ۴ درصد وزنی آلومینیم تهیه شد. بر روی نمونه‌های کشش تهیه شده از این آلیاژها عملیات حرارتی آستمپر به اجرا درآمد؛ بدین ترتیب که این نمونه‌ها در دو دمای 850°C و 900°C به مدت ۱۲۰ دقیقه آستینتیه شده و در دمای آستمپر 275°C ، به مدت زمان ۱، ۳۰، ۶۰ و ۱۲۰ دقیقه آستمپر شدند.

نتایج آزمایش‌ها نشان می‌دهد که افزایش دمای آستینتیه از 850°C به 900°C در آلیاژهای حاوی ۱ و ۲ درصد وزنی آلومینیم باعث کاهش استحکام و میزان ازدیاد طول می‌شود درحالی که در نمونه‌های بدون آلومینیم و حاوی ۴ درصد وزنی آلومینیم با افزایش دمای آستینتیه میزان استحکام و ازدیاد طول افزایش می‌یابد. در آلیاژهای حاوی ۱ و ۲ درصد وزنی آلومینیم بالاترین میزان استحکام و ازدیاد طول پس از ۳۰ دقیقه آستمپر و در آلیاژهای بدون آلومینیم و حاوی ۴ درصد وزنی آلومینیم بالاترین میزان استحکام و ازدیاد طول پس از ۶۰ دقیقه آستمپر به دست می‌آید.

کلمات کلیدی

آستینتیه کردن، آستمپر، چدن خاکستری آلومینیم‌دار، آستینت باقیمانده

Effect of Aluminum Content on the Microstructure, Hardness and Mechanical Properties of Austempered Grey Cast Iron.

E. Shojaee; M. Divandari; S.M.A. Boutorabi

ABSTRACT

The effect of aluminum content, austenitizing temperature and austempering time and temperature on the microstructure and mechanical properties of Fe-C-Al grey cast iron are investigated. Three alloys containing 1, 2 and 4 weight percent of aluminum are provided. The tensile samples are austenitized at 850°C and 900°C for 2h, followed by an austempering process at 275°C for 1-120 min.

The results show that increase of austenitizing temperature from 850°C to 900°C in the alloys with 1w% and 2w% aluminum decreases the elongation and ultimate tensile strength. In the samples without aluminum and containing 4w% aluminum increase in the austenitizing temperature leads to increasing of ultimate tensile strength and elongation. Experiments carried out on austenitized samples at 900°C show that in alloys with 1w% and 2w% of aluminum maximum strength and elongation appear after 30 minutes of austempering but in samples without aluminum or those containing 4w% aluminum the maximum strength and elongation appear after 60 minutes.

ⁱ کارشناس ارشد. تلفن: ۹۱۲۲۵۸۹۸۵۷. e_shojaee@yahoo.co.uk

ⁱⁱ استادیار دانشگاه علم و صنعت ایران

ⁱⁱⁱ استاد دانشگاه علم و صنعت ایران

۱- مقدمه

افت خواص مکانیکی را موجب شده و قابلیت آستمپر را محدود می‌کنند. بررسی‌ها نشان می‌دهد که مهم‌ترین عواملی که این نوع قابلیت آستمپر را تحت تاثیر قرار می‌دهند شامل دمای آستینیت، زمان و دمای آستمپر، عناصر آلیاژی و عیوب ساختاری است [۸].

مطالعه چدن‌های داکتیل در سیستم Fe-C-Al که در آنها آلومینیم به طور جزئی یا کلی جایگزین سیلیسیم در چدن‌های داکتیل مرسوم Fe-C-Si شده است، شباهت‌های نزدیکی از دو چدن را در فاز تعادلی با اختلافات کوچکی در دماها یا درجات حلالیت اجزای آلیاژی نشان می‌دهد. چنین شباهت‌هایی همچنین در مورد فازهای استحاله‌های جامد-مایع و استحاله‌های حالت جامد وجود دارد [۶]. جایگزینی آلومینیم به جای سیلیسیم در چدن، نه تنها در حالت ریختگی سبب افزایش خواص مکانیکی می‌شود [۱۲، ۱۳] بلکه در حالت آستمپر نیز کیفیت بهتری را نشان می‌دهد [۵].

خواص کششی چدن‌های داکتیل آلومینیم‌دار به شدت تحت تاثیر عملیات حرارتی آستمپر است. استحکام کششی پایین در درجه حرارت‌های پایین، ناشی از واکنش بینایتی کامل نشده به خاطر کم بودن سرعت نفوذ کربن است. در هنگام سرد کردن تا دمای اتاق، آستینیت کم کربن به مارتنتزیت تبدیل می‌شود و تمایل به شکست ترد افزایش می‌یابد. مسأله دیگر، ایجاد تنفس در این نمونه‌هاست و احتمالاً از کرنش برشی ناشی از تشکیل بینایت سرچشممه می‌گیرد که باعث کاهش استحکام چدن آستمپر شده در ۲۷۵-۳۰۰ درجه سانتیگراد می‌شود [۴].

تحقیقات نشان می‌دهد که از دیاد طول نسبی چدن‌های با گرافیت لایه‌ای آلومینیم‌دار یا سیلیسیمی به وسیله افزایش توانایی گرافیت‌زایی مذاب افزایش می‌یابد [۱۰]. محدوده وسیعی از خواص مکانیکی با استفاده از عملیات حرارتی آستمپر در هر دو نوع چدن قابل دستیابی است. چدن‌های خاکستری آستمپر آلومینیم‌دار یا سیلیسیمی استحکامی بیش از ۳۰۰ مگاپاسکال و از دیاد طولی به میزان ۱ درصد را از خود نشان می‌دهد [۱۰]. هدف از این تحقیق، بررسی اثر میزان آلومینیم و متغیرهای عملیات حرارتی آستمپر بر استحکام کششی و سختی چدن خاکستری است.

۲- روش تحقیق

به منظور بررسی اثر آلومینیم ابتدا ترکیب شیمیایی مذاب مطابق جدول (۱) تهیه شد.

جدول (۱): ترکیب شیمیایی مذاب تهیه شده (درصد وزنی).

C	Si	Mn	S	P	Cu
3.2	2.2	0.37	0.04	0.04	0.12

عملیات حرارتی آستمپر برای چدن‌ها با یک مرحله عملیات حرارتی، در دمای آستینیت کردن بالا شروع می‌شود که در نتیجه ساختار زمینه را به آستینیت تبدیل می‌کند. این مرحله با کوئنچ کردن قطعه، در یک حمام نمک یا روغن با دمای ثابت در محدوده دمایی تشکیل بینایت، و نگهداری قطعه در این دما برای مدت زمان معین و سپس سرد کردن تا دمای اتاق دنبال می‌شود [۷]. استحاله آستمپر در چدن‌ها شامل ۲ مرحله است که با استحاله بینایتی یک مرحله‌ای در فولاد متفاوت است. به این دلیل نام چدن آستمپر به چدن بینایتی ترجیح داده می‌شود تا بر اهمیت اختلافات ریزساختار تاکید شود. در واقع به علت غلظت بالای کربن و سیلیسیم در چدن‌ها، استحاله آستمپر در چدن‌ها متفاوت با فولادهاست [۱].

در دماهای پایین آستمپر، که میزان نفوذ کربن کمتر است، ساختارهای فریتی خیلی ظرف، آستینیت پایدار شده و رسوب همزمان کاربیدها در فریت تشکیل می‌شوند. صفحات مجازی فریت، که با لایه‌های نازک آستینیت اشباع شده از کربن از یکدیگر جدا شده‌اند، در مرز دانه‌های آستینیت هسته‌زایی کرده و رشد می‌کنند. همان‌طور که واکنش پیش می‌رود نفوذ در جلوی صفحات فریتی مشکل‌تر شده و رشد صفحات متوقف می‌شود که در نتیجه زمینه دوگانه آستینیتی-فریتی؛ که آسفریت نامیده می‌شود، ایجاد گردد. کربن بالای موجود در چدن نشکن به تشکیل چنین ساختاری با کاهش رشد صفحات فریتی و ثبوت آستینیت تمایل دارد. چون آستینیت در درجه حرارت پایین ناپایدار است، در نهایت به فریت و سماتنتیت کروی خیلی ریز تحول می‌یابد. این تحول به وسیله میزان سیلیسیم بالای موجود در آلیاژ؛ که تشکیل کاربید را متوقف می‌سازد، به تأخیر می‌افتد [۱۱]. در صورتی که زمان نگهداری در درجه حرارت آستمپر کافی نباشد آستینیت به طور کامل از کربن غنی نشده و به واسطه سرد کردن بعدی به طور کامل و یا جزئی به مارتنتزیت تبدیل می‌شود. در زمان نگهداری طولانی تجزیه شده و به عنوان مرحله سوم استحاله شناخته می‌شود. به دلیل کاهش شدید انعطاف‌پذیری و چرمگی، از اجرای مرحله سوم استحاله خودداری می‌شود [۱۲].

ساختار یکنواخت و مناسب آسفریتی در محدوده زمانی مشخصی که به دهانه فرایند (Processing Window) معروف است، ایجاد می‌شود (مرحله دوم استحاله). به عبارت دیگر، حضور آستینیت ناپایدار در مرحله (۱) که به تشکیل مارتنتزیت منجر می‌شود و حضور کاربید در واکنش مرحله (۲) آستمپر

در مرحله عملیات حرارتی، ابتدا نمونه‌ها در دو دمای ۸۵۰ و ۹۰۰ درجه سانتیگراد و به مدت ۲ ساعت در کوره‌های الکتریکی مافلی آستینیتی شدند. پس از کامل شدن عملیات آستینیت، نمونه‌ها به سرعت به کوره حمام نمک در دماهای ۲۷۵ درجه سانتیگراد منتقل و به مدت ۱، ۳۰، ۶۰ و ۱۲۰ دقیقه در حمام نمک (نیترات آمونیم) در هر یک از دماهای مذکور تحت فرایند آستمپر قرار گرفت. نمونه‌ها پس از خارج شدن از حمام نمک در هوا سرد شدند.

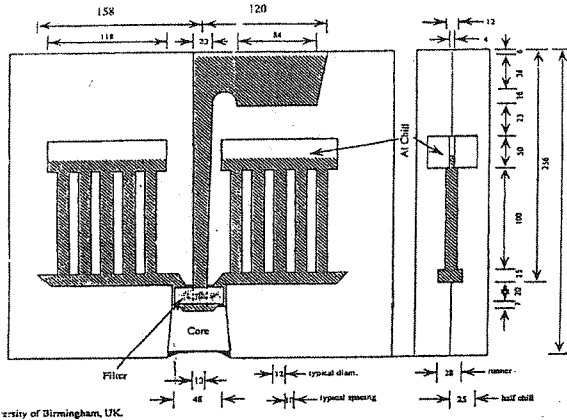
نمونه‌های آستمپر شده با دستگاه کشش آلمانی مدل ZWICK ۲۵ تن و مجهز به کرنش سنجی (اکستنسیومتر) با دقت هزار میکرون آزمایش شد. نرخ کرنش برای آزمایش‌ها $1/\text{sec}^{-1}$ و $2/\text{sec}^{-1}$ انتخاب شد. برای هر کدام از حالات، دو نمونه تحت آزمایش کشش قرار گرفت. برای اندازه‌گیری سختی نمونه‌های آستمپر شده، از روش سختی سنجی ویکرز استفاده شد. سختی‌های به دست آمده میانگین حداقل سه نقطه می‌باشد.

۳- نتایج و بحث

۱-۳- ریزساختار نمونه‌های آستمپر شده

آستمپر کردن در دمای پایین، 275°C ، باعث تشکیل مورفولوژی خاصی از فریت بینایتی به نام فریت بینایتی پایینی در ساختار آلیاژها می‌شود. شکل (۲) ریزساختار نمونه‌های حاوی ۱ و ۲ درصد وزنی آلومینیم را که در دمای 275°C به مدت ۶۰ دقیقه آستمپر شده‌اند، نشان می‌دهد (به دلیل اینکه بعضی تصاویر در حالت bright field تهیه شده است، رنگ گرافیتها در این تصاویر روشن است). ریزساختار این نمونه‌ها حاوی سوزن‌های فریت بینایتی پایینی و آستینیت باقیمانده است. فرایند رشد فریت بینایتی پایینی با جوانه‌زنی لایه به لایه صفحه‌های فریت بینایتی در درون دانه‌های آستینیت آغاز می‌شود. همچنین در چند های خاکستری وجود گرافیت لایه‌ای با سطح زیاد باعث می‌شود که مکان‌های جوانه‌زنی برای سوزن‌های فریت بینایتی بیشتر باشد. در درجه حرارت‌های پایین آستمپر امکان قرارگیری آستینیت تحت تبرید زیاد فراهم می‌شود و در نتیجه، میزان نفوذ کربن بسیار کم است. همچنین در دماهای آستمپر پایین (275°C) به دلیل اینکه سرعت جوانه‌زنی سوزن‌های فریت بیش از سرعت رشد آن‌هاست مقدار زیادی سوزن‌های ظریف فریتی در ساختار به وجود می‌آید. به دلیل سرعت نفوذ کربن در این دما مقدار آستینیت باقیمانده کم است و سوزن‌های فریت بینایتی از کربن فوق اشباع هستند که این کربن ممکن است بعداً به صورت کاربید رسوب کند.

برای ذوب از کوره القایی بدون هسته فرکانس پایین ۱۰۰ کیلویی استفاده شد. چهار پاتیل ۴۰ کیلوگرمی از مذاب تهیه و به هر کدام به ترتیب ۱، ۲ و ۴ درصد آلومینیم (کابل‌های آلومینیمی با خلوص ۹۹/۹۹٪) افزوده شد (از یکی از پاتیل‌ها برای تهیه نمونه شاهد استفاده شد). مذاب در دمای ۱۵۰۰ درجه سانتیگراد در پاتیل ریخته شد و سپس آلومینیم به داخل مذاب فرو برده شد (علت انتخاب دمای فوق گذار این است که با افزودن آلومینیم به مذاب با فرسوسیلیسیم ۷۵٪ (به میزان ۵/۰ درصد وزنی) ریخته‌گری در دمای ۱۴۰۰ درجه سانتیگراد و در داخل قالب تهیه شده به روش CO_2 به انجام رسید. تصویر مدل استفاده شده در شکل (۱) آمده است.



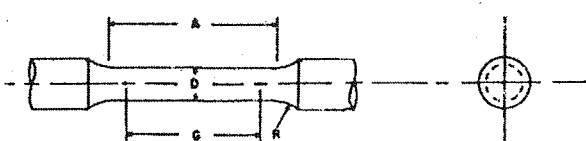
شکل (۱): نمای شماتیکی از قالب استفاده شده در آزمایش (Campbell-1998)

نمونه‌ها تا ابعاد استاندارد (ASTM A370) تراشکاری شد (شکل (۲) و جدول (۲)). برای جلوگیری از اکسیداسیون در حین عملیات حرارتی آستمپر سطح نمونه‌ها با سرامیل؛ که پوششی تجاری حاوی اکسید زیرکونیم است، پوشانده شد.

جدول (۲): ابعاد استاندارد ASTM A370 استفاده شده برای نمونه کشش

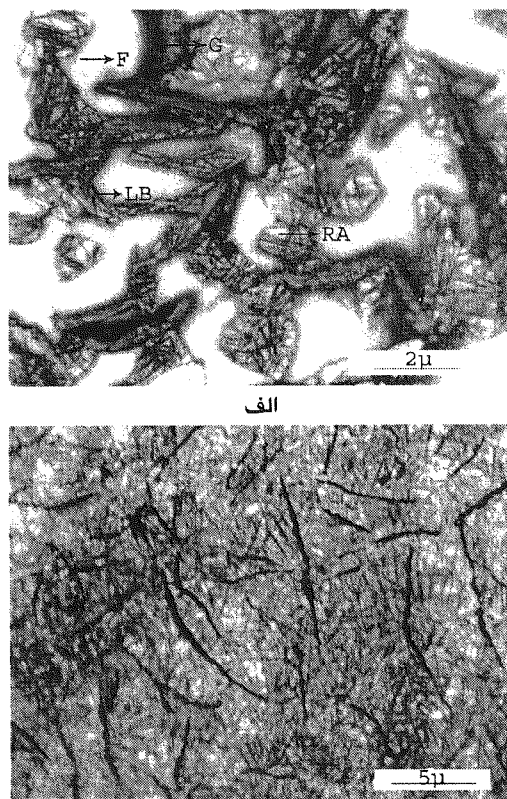
A(mm)	D(mm)	R(mm)	G(mm)
45	$D=8.75\pm 0.18$	R=6	$G=35\pm 0.1$

مشخصات ابعاد در شکل (۲) تعریف شده‌اند.

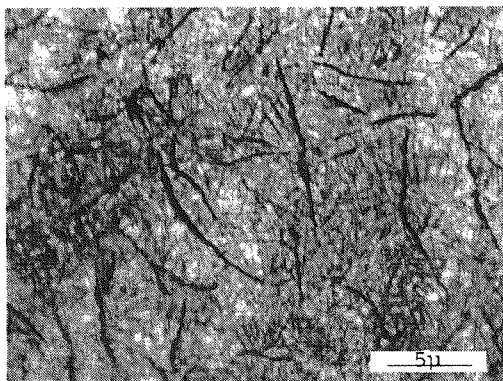


شکل (۲): شماتیکی از نمونه ماشینکاری شده

آستینیت به 90°C دیگر فریت آزاد در ساختار نمونه‌های حاوی ۴ درصد وزنی آلومینیم مشاهده نمی‌شود.



الف



ب

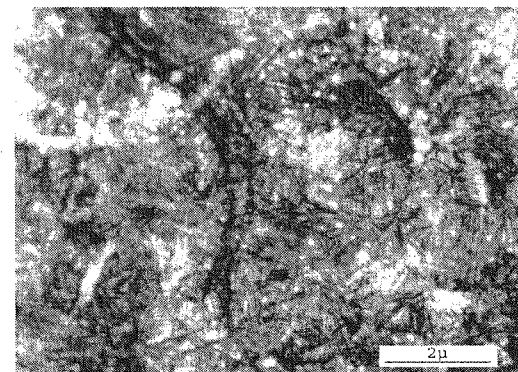
شکل (۳): ریزساختار نمونه‌های حاوی ۴ درصد آلومینیم که در دمای 275°C سانگینگرد به مدت 120 دقیقه آستینپر شده‌اند. (در شکل گرافیت با G، آستینیت با قیمانده با RA: فریت یوتکتوئید با F و بینایت پایینی با LB نشان داده شده‌اند).

الف- نمونه آستینیت شده در دمای 85°C به مدت 2 ساعت
ب- نمونه آستینیت شده در دمای 90°C به مدت 2 ساعت

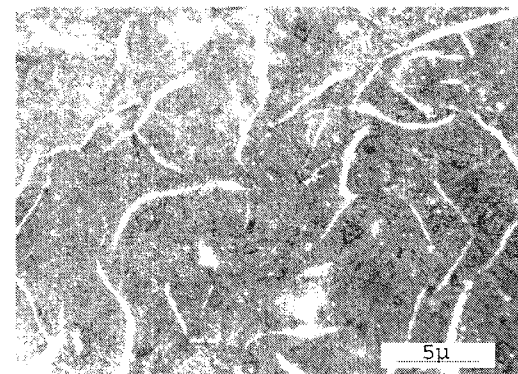
۳-۴- اثر میزان آلومینیم و دمای آستینیت بر خواص مکانیکی

از مقایسه استحکام نهایی نمونه‌های آستینیت شده در دمای 85°C و 90°C می‌توان دریافت که با افزایش دمای آستینیت استحکام نهایی در نمونه غیرآلیاژی و بدون آلومینیم و آلیاژ حاوی ۴ درصد وزنی آلومینیم افزایش یافته است (شکل (۵)). گزارش شده است که در چند های نشکن غیرآلیاژی افزایش دمای آستینیت باعث افزایش کربن آستینیت و در نتیجه موجب افزایش استحکام و کاهش انعطاف‌پذیری می‌شود [۹].

مطالعات ریزساختاری ثابت می‌کند که افزایش آلومینیم دمای یوتکتوئید را بالا برده و منطقه آستینیت را در دیاگرام FeC-Al کوچک تر می‌کند. در نتیجه، در این شرایط بعضی از مناطق آستینیت به اندازه کافی غنی از کربن نمی‌شود و در هنگام سرد کردن تا دمای انتقال به فریت تبدیل می‌شود. با افزایش دمای



الف



ب

شکل (۳): ریزساختار نمونه‌های حاوی ۱ و ۲ درصد وزنی آلومینیم که در دمای 275°C به مدت 60 دقیقه آستینپر شده‌اند

الف- نمونه حاوی ۱ درصد وزنی آلومینیم

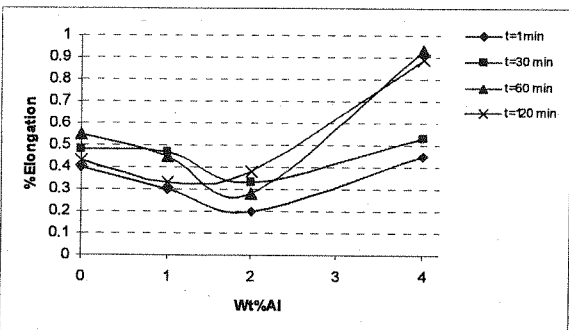
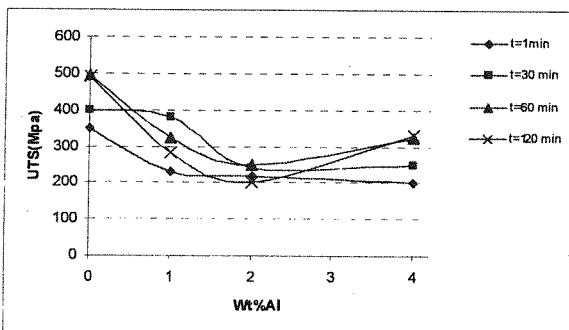
ب- نمونه حاوی ۲ درصد وزنی آلومینیم

مورفولوژی آستینیت باقیمانده در این ساختارها به شکل ورقه‌های نازکی است که در بین سوزن‌های فریتی قرار گرفته‌اند؛ همچنین مقدار کمی بلوكهای آستینیتی نیز در ساختار مشاهده می‌شود. در مجموع می‌توان گفت ریزساختار پس از عملیات حرارتی در این آلیاژها مشابه ریزساختار در دیگر چند های آستینپر است.

نتایج بررسی‌های ریزساختاری نشان داد که دمای آستینیت بر ساختار پس از عملیات حرارتی تاثیر قابل ملاحظه‌ای دارد. همان طور که در شکل (۴) مشاهده می‌شود، ریزساختار نمونه حاوی ۴ درصد وزنی آلومینیم؛ که در دمای 85°C به مدت 2 ساعت آستینیت شده‌اند، حاوی مقدار زیادی فریت آزاد و مقدار کمی فریت بینایتی و آستینیت باقیمانده است. این مساله احتمالاً به دلیل بالا بودن مقدار آلومینیم و پایین بودن دمای آستینیت برای این آلیاژ است و این نشان می‌دهد که آلومینیم دمای یوتکتوئید را بالا برده و منطقه آستینیت را در دیاگرام FeC-Al کوچک تر می‌کند. در نتیجه، در این شرایط بعضی از مناطق آستینیت به اندازه کافی غنی از کربن نمی‌شود و در هنگام سرد کردن تا دمای انتقال به فریت تبدیل می‌شود. با افزایش دمای

و افزایش بیشتر آلمینیم باعث می‌شود که تعداد گرافیت‌های درشت در ساختار افزایش یابد. بالاترین میزان استحکام نهایی در کلیه زمان‌های آستمپر نیز در نمونه‌های بدون آلمینیم مشاهده می‌شود. این ویژگی به مرفوولوژی گرافیت (گرافیت نوع D) در این نمونه‌ها مربوط است [۲]. این نتایج نشان می‌دهد که در چند های خاکستری به دلیل پیوستگی درونی گرافیت‌های لایه‌ای ساختار زمینه نقش کوچکی را در کنترل خواص مکانیکی بر عهده دارد.

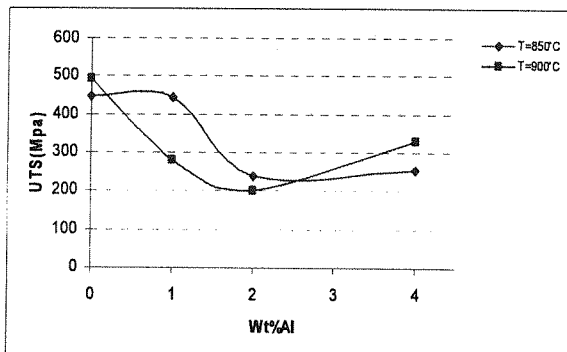
آلیاژ‌های حاوی ۴ درصد وزنی آلمینیم بالاترین میزان ازدیاد طول را در بین دیگر آلیاژ‌ها بویژه در زمان‌های آستمپر ۶۰ و ۱۲۰ دقیقه دارا هستند. گزارش شده است وجود گرافیت‌های ته‌گرد در چند های آلمینیم‌دار باعث بهبود خواص مکانیکی در این آلیاژها می‌گردد [۲، ۱۰]. وجود این نوع گرافیت در این آلیاژ باعث شده است که میزان ازدیاد طول افزایش یابد. به طوری که مشاهده می‌شود میزان ازدیاد طول در این آلیاژ پس از ۶۰ دقیقه آستمپر به حدود ۱ درصد رسیده است.



شکل (۷): نمودار تغییرات استحکام نهایی و درصد ازدیاد طول نمونه‌های آستمپر شده در دمای ۲۷۵ درجه سانتیگراد با افزایش میزان آلمینیم

شکل (۸) اثر میزان آلمینیم را بر سختی چند های خاکستری آلمینیم‌دار پس از ۳۰ دقیقه آستمپر نشان می‌دهد. به طوری که مشاهده می‌شود با افزایش میزان آلمینیم سختی آلیاژها کاهش یافته است. احتمالاً اثر قوی تر آلمینیم در

وزنی آلمینیم؛ که در دمای ۸۵۰ درجه سانتیگراد شده‌اند، به وجود آید و استحکام این نمونه‌ها را کاهش دهد. با افزایش دمای آستمپر به ۹۰۰ درجه سانتیگراد از ساختار حذف شده و استحکام نمونه‌ها افزایش می‌یابد. البته میزان استحکام در مجموع در آلیاژ حاوی ۴ درصد وزنی آلمینیم نسبت به آلیاژ حاوی ۲ درصد وزنی آلمینیم بهبود یافته است که این ویژگی به وجود مورفوولوژی خاصی از گرافیت موسوم به گرافیت مربوط (Round ended graphite) است (شکل (۶)).



شکل (۵): نمودار تغییرات استحکام نهایی آلیاژ‌های آستینیتی شده در دمای آستینیتی ۸۵۰ و ۹۰۰ درجه سانتیگراد



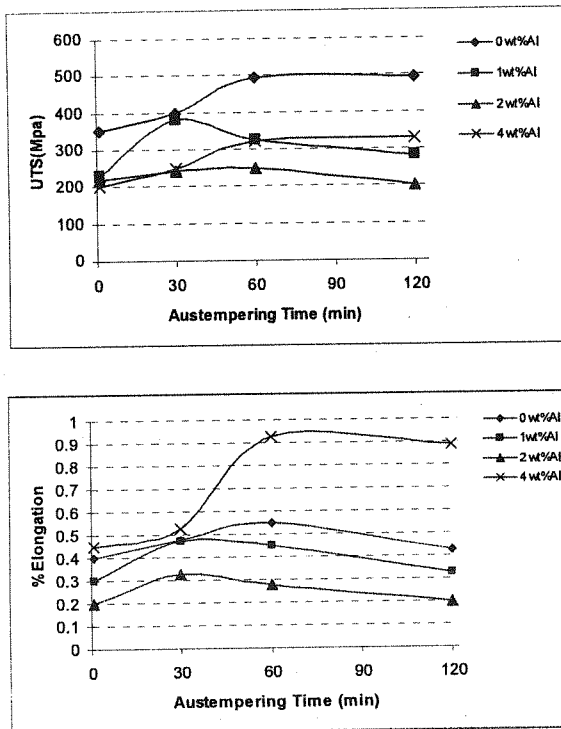
شکل (۶): مورفوولوژی گرافیت در نمونه حاوی ۴ درصد وزنی آلمینیم

۳-۳-۳- اثر میزان آلمینیم بر خواص مکانیکی

شکل (۷) تاثیر میزان آلمینیم بر استحکام نهایی و درصد ازدیاد طول در چند های آلمینیم‌دار را نشان می‌دهد. آلیاژ‌های حاوی ۲ درصد وزنی آلمینیم در کلیه زمان‌های آستمپر استحکام کمتری نسبت به دیگر آلیاژ‌ها دارند. این مساله احتمالاً به افزایش درصد حجمی گرافیت‌ها و درشت شدن آن‌ها در این آلیاژ مربوط می‌شود. مطالعات ریزساختاری نشان می‌دهد مورفوولوژی گرافیت در چدن بدون آلمینیم تولید شده در این تحقیق از نوع D است؛ لایه‌های گرافیت به صورت رسوبات بین دندانی تشکیل شده و جهات خاصی ندارند. با افزودن ۱ درصد وزنی آلمینیم مورفوولوژی گرافیت به نوع A تغییر یافته

وجود گرافیت‌های لایه‌ای با سطح زیاد باعث می‌شود که مکان‌های جوانه‌زنی برای تیغه‌های فریت بینایتی بیشتر باشد.

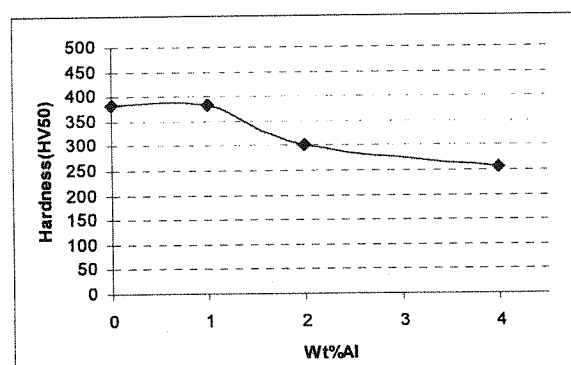
جلوگیری از تشکیل کاربید نسبت به سیلیسیم سبب شده است که افزایش میزان آلومینیم در آلیاژها سبب کاهش سختی در آنها می‌شود.



شکل (۹): نمودار تغییرات استحکام نهایی و درصد ازدیاد طول نمونه‌های آستمپر شده در دمای ۲۷۵ درجه سانتیگراد در زمان‌های مختلف

۴- نتایج

- ۱ استحکام آستمپر در چدن‌های آلومینیم‌دار مشابه چدن‌های خاکستری سیلیسیمی است.
- ۲ به نظر می‌رسد محدوده پایداری آستینیت در چدن‌های آلومینیم‌دار به دماهای بالاتری انتقال می‌یابد به طوری که آلیاژ حاوی ۴ درصد وزنی آلومینیم در دمای ۸۵۰ درجه سانتیگراد به مدت ۲ ساعت کاملاً آستینیت نمی‌شوند.
- ۳ میزان ازدیاد طول چدن‌های خاکستری آستمپر شده با افزون ۴ درصد وزنی آلومینیم به آنها افزایش می‌یابد. این خاصیت احتمالاً به وجود گرافیت‌های ته‌گرد در این چدن‌ها ارتباط دارد.
- ۴ مرحله اول استحکام آستمپر در چدن‌های حاوی ۱ و ۲ درصد وزنی آلومینیم پس از ۳۰ دقیقه و در آلیاژهای حاوی ۰ و ۴ درصد وزنی آلومینیم پس از ۶ دقیقه کامل می‌شود.



شکل (۸): نمودار تغییرات سختی نمونه‌های آستمپر شده در دمای ۲۷۵ درجه سانتیگراد به مدت ۳۰ دقیقه با افزایش میزان آلومینیم

۳-۴- اثر زمان آستمپر بر استحکام و میزان ازدیاد طول

شکل (۹) تاثیر زمان آستمپر بر استحکام و درصد ازدیاد طول را در آلیاژهای حاوی مقادیر مختلفی از آلومینیم نشان می‌دهد. در زمان‌های کوتاه آستمپر وجود زمینه غالب مارتنتیتی دلیل شکست زود هنگام نمونه‌هاست. سختی و شکنندگی فاز مارتنتیت باعث تردی بیش از حد نمونه می‌شود. با افزایش زمان آستمپر به دلیل اشباع شدن آستینیت از کربن و کاهش دمای تبدیل آن به مارتنتیت، مارتنتیت از ساختار حذف می‌شود. همان طور که در شکل (۹) مشاهده می‌شود در آلیاژهای حاوی ۱ درصد وزنی آلومینیم استحکام نهایی و درصد ازدیاد طول پس از ۳۰ دقیقه به حداقل مقدار خود می‌رسد و افزایش زمان آستمپر تا ۶۰ دقیقه باعث کاهش میزان استحکام و درصد ازدیاد طول شده است؛ لذا شاید بتوان چنین استنباط کرد که دهانه فرایند (Processing window) در این آلیاژها بسیار کوتاه است و مرحله سوم آستمپر تقریباً پس از پایان مرحله اول آغاز می‌شود. در آلیاژ حاوی ۲ درصد وزنی آلومینیم دهانه فرایند آستمپر محدوده زمانی ۳۰ تا ۶۰ دقیقه است و افزایش بیشتر زمان آستمپر به ۱۲۰ دقیقه در این آلیاژها باعث افت خواص کششی نمونه‌ها شده است. این مساله احتمالاً نشان دهنده شروع واکنش مرحله سوم آستمپر می‌باشد. این مرحله از عملیات حرارتی آستمپر باعث کاهش جزئی در میزان ازدیاد طول می‌شود. در آلیاژهای بدون آلومینیم و حاوی ۴ درصد وزنی آلومینیم دهانه فرایند محدوده زمانی ۶۰ تا ۱۲۰ دقیقه است. نتایج به دست آمده نشان می‌دهد سرعت مرحله اول واکنش آستمپر در چدن‌های خاکستری بیش از چدن‌های نشکن است. این مساله شاید به این دلیل باشد که

۵- مراجع

- [۱] فراخی، محمدعلی؛ اثر آنتیموان بر خواص چدن‌های نشکن آستمپر، دانشکده مهندسی مواد دانشگاه علم و صنعت ایران، پایاننامه کارشناسی ارشد، ۱۳۸۲.
- [۲] شجاعی، احسان؛ بررسی اثر میزان آلومینیم و عملیات آستمپر بر ساختار و خواص کششی چدن خاکستری، دانشکده مهندسی مواد، دانشگاه علم و صنعت ایران، پایاننامه کارشناسی ارشد، ۱۳۸۳.
- J.Pelleg, "Aluminum-treated cast iron", The British Foundryman, pp. 349-355, September 1962 [۳]
- S.M.A. Boutorabi, "Austempered Cu and Ni Alloyed Aluminum Ductile Iron", Metall. 52 Jahrgang, No.10J pp.81-88 1998. [۴]
- S.M.A. Boutorabi, J.M.Young, V.Kondic, "Ductile Aluminum Cast Iron", Cast Metals Vol. 5, No. 3, pp. 122-129, 1992. [۵]
- S.M.A. Boutorabi, J.M.Young, V.Kondic, "Hardness and Tensile Properties of Austempered Aluminum Containing Ductile Iron", Cast Metals, Vol.6, No.3, pp. 170-174, 1993. [۶]
- D.Krishnaraj, S.Seshan, "Influence of Austempered Variables on the Structure and Properties of Unalloyed ADI", AFS Transaction, pp 767-775, 1995. [۷]
- S.C.Lee, C.H.Hsu, C.C.Chang, "Influence of Casting Size and Graphite nodule Refinement on Fracture Toughness of Austempered Ductile Iron", Metallurgical and Materials Transaction A, Vol. 29A, pp 2511-2521 , 1998. [۸]
- E.Dorazil, "Mechanical properties of austempered ductile iron", Foundry M&T, pp.36-45, 1986. [۹]
- S.M.A. Boutorabi, T.Din, "Microstructure and Mechanical properties of As Cast and Austempered Si and Al Containing grey Cast Irons", International Journal of Engineering Iran University of Science & Technology, Vol. 8, No. 1a, pp 233 1997. [۱۰]
- K.L.Hayrynen, S.M.Loftus, R.L.May, D.J.Moore, K.B.Rundman, "Microstructural Study of Ausformed-Austempered Ductile Iron", AFS Transaction, pp 157-161, 1995. [۱۱]
- F.Martinez, D.M.Stefanescu, "Properties of Compacted/Vermicular Graphite Cast Irons in the Fe-C-Al System by Ladle and In-mold Treatment", AFS Transaction, pp. 593-606, 1983. [۱۲]
- M.Ghoreshy, V.Kondic, "Structure and Mechanical and Casting properties of Fe-C-Al Cast Iron", Solidification Technology in the Foundry and Cast House, Metals Society, pp. 562-568, 1983. [۱۳]
- M.Bahmani, R.Elliott, N.Varahram, "The Austempering Kinetic and Mechanical Properties of an Austempered Cu-Ni-MoMn Alloyed ductile Iron", Journal of Materials Science, Vol.32, pp 4783-4791, 1997. [۱۴]